

大阪大学工学部 正員 ○伊藤富雄  
大阪府土木部 正員 高本敏

1. はしがき 本文は、ブラインド式シールド工法を採用するときの推進抵抗力、地表面に盛り上がりを生じないための限界抵抗力について、それらの算定公式を提案し、かつ模型実験によつて各公式の検証を行なつた結果につき述べたものである。

2. 推進抵抗力 推進抵抗力  $P$  は、いうまでもなく、シールドの周面摩擦力  $P_f$  と先端抵抗力  $P_p$  の和として表わされる。すなわち

$$P = P_f + P_p \quad \dots \dots \dots (1)$$

3. 周面摩擦力 これは、杭を軟弱土中から引き抜くときの周面上に作用する摩擦力と同一と考えられるので、かかる場合の計算式としてすでに提案した次式<sup>1)</sup>をここでも採用する。

$$V_0 = \frac{P_f}{2\pi L \mu_p} \left( \ln \frac{P_f}{2\pi L \tau_y R_1} + \frac{2\pi L \tau_y R_1}{P_f} - 1 \right) \quad \dots (2)$$

ここで  $V_0$ : シールドの推進速度、 $\tau_y$ : 粘性土の降伏応力、

$\mu_p$ : 塑性粘度  $L$ ,  $R_1$ : 図-1 参照

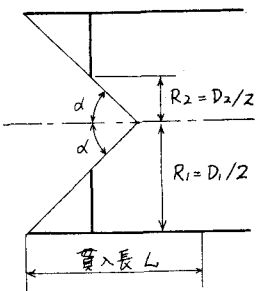


図-1

4. 先端抵抗力 後述のように、この抵抗力は推進速度  $V_0$  によって変化するので、さきに提案したレオロジイによる計算式<sup>2)</sup>の方が、定性的には正しいと考えられる。しかし金属に対する塑性理論<sup>3)</sup>を軟弱粘土に応用したつぎの式は、理論的にあいまいさがあるとはいへ、少なくとも定量的にはよい結果を与えるようであるから、ここでは次式を採用する。

$$P_p = \frac{1}{2} \pi D_1^2 C \left\{ \left( Z + \cot \alpha \right) \ln \frac{D_1}{D_2} + \frac{\alpha}{3} \right\} \quad C: 粘着力, D_1, D_2, \alpha: 図-1 参照 \quad (3)$$

ただしこの式の右辺最後の項は、刃口における剪断変形の影響を示すものである。

5. 限界抵抗力 この力  $P_c$  は、シールド中心の土かぶりを  $\alpha$ 、土の単位体積重量を  $\gamma$  とすれば、

$$P_c = \frac{\pi D_1^2}{4} (\gamma h + \alpha C), \quad \alpha: 係数 (後述のように4とする) \quad \dots \dots \dots (4)$$

6. 実験装置その他 実験装置は大要図-2のごとくで、シールドの模型は外径  $D_1 = 10\text{cm}$ ,  $\alpha = 45^\circ$  とし、開口比を 4.9, 2.5, 9% の 3 種に変化させ、推進速度は毎分 1 または  $10\text{mm}$  とする。試験用土は  $L.L. = 72\%$ ,  $P.L. = 31\%$ , 粒子比重 = 2.65 で、含水比  $w$  は 88.6, 80.0, 77.6% の 3 種とする。

7. 実験結果と計算結果との比較 貫入長  $L$  と推進抵抗力  $P$  を測定してプロットすれば、例えば図

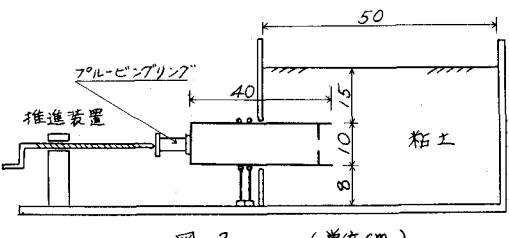


図-2 (単位 cm)

-3のようになり、 $P$ と $L$ はほぼ直線的な関係にあり、その直線の勾配から $P_p/L$ が、直線と縦軸との交点から $P_p$ が求められる。そこ

でまず、かようにして実験的に求めた $P_p/L$ と式(2)により計算したそれを比較すると、式(2)に含まれる $\gamma_p$ と $\mu_p$ は、パイプフローの実験によれば表-1の通りであるから、結果は表-2に示すようになります。

つぎに上記の $P_p/L$ を $\pi D_1$ で割って粘着力 $C$ を求め、それを式(3)に代入して得られる $P_p$ の理論値を図-4に見る曲線で示し、また実測によって求めた $P_p$ を図中にプロットする。一方 $P_c$ の計算値は、式(4)の係数 $\alpha$ を4とすればよい結果が得られるようであるから、そうして求めた $P_c$ とその実験値とを、合わせて図-4に記入する。

上記のようにして描いた図-4を見ればわかるように、式(3)および(4)による計算値は、大体において実験値と合うようであり、式(4)の係数 $\alpha$ は4とすればよいと思われる。ただしこの $\alpha$ は一般に6~8であるとされ、テルツィアギの公式を応用すれば $\alpha = 7.4$ となるものである。また図-4を見ると、 $D_2/D_1 = 0.3$ すなわち開口比が9%程度に小になれば、 $P_p$ はほぼ $P_c$ に等しくなり、地表面が盛り上がる可能性の大なることがわかる。

参考文献 1) 松井保・竹本雅俊：ネガティブフリクションの計算法に関する一試案、土木学会関西支部年次学術講演会講演概要、昭42.11

2) 伊藤・松井・高本：ドラインドシールドの推進力の算定と実験、同上、昭43.5  
3) 例えば、益田・室田：工業塑性力学、養賢堂、184~187頁。

表-1			
含水比(%)	86.8	80.0	77.6
$\gamma_p(g/cm^2)$	5.84	8.51	9.73
$\mu_p(g.sec/cm)$	67.6	53.7	27.4

表-2			
含水比(%)	86.8	80.0	77.6
貫入速度(mm/min)	10	1	10
$P_p/L$ 実験値 (kg/cm)	0.232	0.229	0.307
理論値 (kg/cm)	0.210	0.187	0.341
			0.355

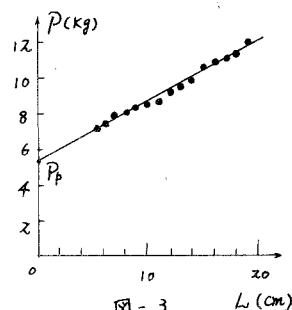


図-3

図-4

